

# تصميم عدسات مسقطية ثلاثية متعددة الأقطاب والفجوات

د.طالب محسن عباس

كلية التربية-جامعة بابل

## الخلاصة:

في هذا البحث تم دراسة تصميم وبناء عدسات مغناطيسية مسقطية ثلاثية ذات أقطاب متنوعة الأشكال بفجوات مختلفة، إذ تتكون كل عدسة من هذه العدسات من ثلاث عدسات أحادية القطب وثنائية القطب بأشكال مختلفة للحصول على صور عديمة الدوران والتشويه في نقطتي التكبير العظمى الأولى والثانية. لقد تم حساب توزيع المجال المغناطيسي المحوري لهذه العدسات بوساطة طريقة العناصر المنتهية في منطقتي الدوران الأولى والثانية واستخدمت أيضا برامج حاسوبية لدراسة الخواص البؤرية لهذه العدسات. أوضحت النتائج إمكانية بناء وتصميم مثل هذه العدسات بخواص بؤرية مسقطية جيدة وخالية من التشويه لاستخدامها في المجاهر الإلكترونية.

## Abstract:

In this research has been studied to design and construct the triplet projector magnetic lenses with different polepieces and air gaps. Each lens consist of three lenses, which is a single and double- pole pieces with different shapes, for getting on the free-rotation and distortion images in the first and second maximum magnification regions. However, the axial magnetic field of these lenses has been calculated with the aid of finite element method in the first and second rotation regions. In addition, the properties of these lenses have been calculated with aid of the computer programs.

The results have been showed, that these lens can be constructing and designing with projector focal properties and without distortion for use in the electron microscope.

## 1. المقدمة:

تناول البحث دراسة تصميم عدسات مغناطيسية مسقطية ثلاثية، متعددة الأقطاب والفجوات الهوائية. إذ تعد هذه العدسات من أهم العدسات في منظومة التصوير، حيث تقوم بتكبير الصورة التي تكونها العدسة الشيئية وتسقطها على شاشة المجهر. لكن الصورة المتكونة تعاني من دورانها حول المحور البصري إضافة إلى التشويه الشعاعي والتشويه الحلزوني.

لقد درس كل من (Juma & Mulvey, 1974, 1976, 1978, Juma, 1975) العدسات المغناطيسية المسقطية مزدوجة بأقطاب متشابهة، وتمكنوا من الحصول على صور عديمة الدوران وذلك بجعل تهيج العدسة المسقطية الأولى مساويا ومعاكسا لتهيج العدسة الثانية أي ان  $(NI_1 = -NI_2)$ . وقام (Tsunô & Harada, 1981) بتصميم عدسة مسقطية مزدوجة وثلاثية القطب تعمل عند منطقة الدوران الأولى حيث تم الحصول على صورة بتشويه حلزوني نسبته 0.07% عند اعلومة التهيج  $NI/V_r^{1/2}$  التي يكون فيها التشويه الشعاعي مساويا للصفر. بينما تم الحصول على صور عديمة الدوران وخالية من التشويه الشعاعي والتشويه الحلزوني في نقطة التكبير العظمى الأولى من قبل (AL-Obaidi, 1991). واستطاع (Al-Saady, 1996, Al-Saady et al, 1999) من تصميم عدسات مغناطيسية مزدوجة وثلاثية باقطاب اسطوانية متشابهة وحصل فيها على صور عديمة الدوران وخالية من التشويهين في نقطتي التكبير العظمى

الأولى والثانية. كما تمكنت (AL- Abedeen, 1997) من الحصول على صور عديمة الدوران وخالية من التشويه باستخدام عدسات مغناطيسية مسطوية مزدوجة وثلاثية باقطاب كروية الشكل. ودرست أيضا الدراسة نفسها ولكن بأقطاب مخروطية متشابهة (Al-Shummary, 2002) و (Al-Saady & Al-Shummary, 2004) حيث تمكنوا من الحصول على صور عديمة الدوران وخالية من التشويه في نقطتي التكبير العظمى الأولى والثانية. وتمكن أيضا (AL- Saady et al, 2005) من الحصول على صور عديمة الدوران وخالية من التشويه في نقطتي التكبير العظمى الأولى والثانية باستخدام عدسات مغناطيسية مسطوية مزدوجة وثلاثية بتصاميم متعددة ومتنوعة الأقطاب.

استخدمت برامج حاسوبية مثل برنامج M12 (Munro, 1971) لحساب ومعرفة المجال المغناطيسي المحوري للعدسات المصممة وذلك بواسطة استخدام طريقة العناصر المتناهية (FEM). كذلك استخدم برنامج حاسوبي (Marai, 1977) لدراسة الخواص البصرية المسطوية للعدسات المستخدمة.

## 2. تصميم العدسات:

يوضح الشكلان (1) و(2) تصاميم العدستين ( $L_1$  و  $L_2$ ) المغناطيسيتين المسطويتين الثلاثيتين ذات الفجوات المتعددة والأقطاب المختلفة الأشكال مثل القطب المخروطي ذو الوجه المستوي (Al-Saady, 1996) والاسطواناني (Al-Shafii, 2001; Shummary, 2002) (Al- Abedeen, 1997).

يوضح الشكل (1) النصف العلوي للعدسة المغناطيسية المسطوية الثلاثية التي تتكون من ثلاث عدسات فالعدسة الأولى ثنائية القطب المخروطي والعدسة الثانية ثنائية القطب الكروي والعدسة الثالثة أحادية القطب الاسطواناني.

فللحصول على صورة عديمة الدوران والتشويه في نقطة التكبير العظمى الأولى يجب أن تكون العدسة الأولى والثانية بالنسبة للعدسة المسطوية الثلاثية عاملة، على حيث تكون العدسة المسطوية الثالثة غير عاملة. أما للحصول على صورة عديمة الدوران والتشويه في نقطة التكبير العظمى الثانية يجب أن تكون العدستان المسطويتان الثانية والثالثة عاملتين على حين تكون العدسة المسطوية الأولى غير عاملة.

اختير القطر الخارجي لهذه الأقطاب 20 ملم وان تهيح العدسات الثلاث NI يكون متساو ومتعاكس ومقداره (NI=1000) أمبير - لفة، وقد وضع الملف ضمن تركيب حديد العدسة وعلى بعد 3 ملم عن وجه القطب (AL-Saady, 1996).

ومتلما مبين في الشكل (1) فان قيم الفجوات الهوائية للعدستين المسطويتين الأوليتين كانت متساوية  $S_1 = S_2 = 1.5\text{mm}$ . أما بالنسبة للشكل (2) فان الفجوات الهوائية لهاتين العدستين تم تغييرهما حيث  $S_2 = 0.5\text{mm}$ ,  $S_1 = 25\text{mm}$ .

### 3. النتائج والمناقشة:

#### 1.3. منطقة الدوران الأول:

لقد تم حساب توزيع المجال المغناطيسي المحوري  $B_z$  للعدسة المسطوية الثلاثية  $L_1$  في منطقة الدوران الأول وتم الحصول على صورة عديمة الدوران والتشويه في حالة الفجوات الهوائية  $S_1=S_2=1.5\text{mm}$  والنسبة  $D_1:D_2:D_3=1:0.5:0.5$ ، وكما هو موضح في الشكل (3) فإن المجالين المغناطيسيين متعاكسين في الاتجاه وذلك للحصول على صورة عديمة الدوران وان القيمة العظمى لكثافة الفيض المغناطيسي  $B_{m1}$  للعدسة المسطوية الأولى الثنائية القطب المخروطي تساوي 0.649 تسلا وتقع في منتصف الفجوة الهوائية لان المجال المغناطيسي متناظر، أما القيمة العظمى لكثافة الفيض المغناطيسي للعدسة المسطوية الثنائية القطب الكروي  $B_{m2}$  فتساوي 0.802 تسلا وتقع أيضا في منتصف الفجوة الهوائية لتناظر المجال المغناطيسي. ان المسافة الفاصلة ( $L$ ) بين قمتي المجالين المغناطيسيين لهاتين العدستين تساوي 21.5 ملم.

أما بالنسبة لتوزيع المجال المغناطيسي المحوري  $B_z$  للعدسة المسطوية الثلاثية  $L_2$  فقد تم حسابه عند قيمتي الفجوة الهوائية  $S_2=0.5\text{mm}$ ,  $S_1=25\text{mm}$  والنسبة:  $D_1:D_2:D_3=3:0.5:0.5$ ، حيث تم الحصول عندها على تشويه صفري. وكما هو مبين في الشكل (4) فإن للمجالين المغناطيسيين اتجاهين متعاكسين أيضا وان القيمة العظمى لكثافة الفيض المغناطيسي  $B_{m1}$  للعدسة المسطوية الأولى تساوي 0.177 تسلا وتقع على وجه قطب العدسة أما القيمة العظمى لكثافة الفيض المغناطيسي  $B_{m2}$  للعدسة المسطوية الثانية فتساوي 0.817 تسلا وتقع في منتصف الفجوة الهوائية لان المجال المغناطيسي متناظر. وان المسافة ( $L$ ) الفاصلة بين قمتي المجالين المغناطيسيين تساوي 45.25 ملم.

استخدم توزيع المجال المغناطيسي المحوري  $B_z$  المبين في الشكلين (3) و (4) في حساب الخواص البؤرية المسطوية للعدستين  $L_1$ ,  $L_2$  على التوالي، حيث يوضح الشكل (5) تغير البعد البؤري المسطوي  $F_p$ ، معامل التشويه الشعاعي  $D_r$  ومعامل التشويه الحلزوني  $D_s$  مع اعلومة التهيج  $NI/V_r^{1/2}$  للعدسة المسطوية الثلاثية  $L_1$  في الدوران الاول اذ يلاحظ من الشكل ان اصغر قيمة للبعد البؤري المسطوي  $(F_p)_{\min 1}$  تساوي 22.3 ملم عند اعلومة التهيج  $NI/V_r^{1/2}=2.5$ ، وهي نفس اعلومة التهيج التي يصل فيها معاملي التشويه الشعاعي  $D_r$  والحلزوني  $D_s$  الى قيمهما الصفرية. أما القيم الصغرى لاعلومتا التشويه الشعاعي و الحلزوني  $(Q_r)_{\min 1}$  و  $(Q_s)_{\min 1}$  فتساوي 4.92 و 0.12 على التوالي و تقعان عند اعلومة التهيج التي يحصل عندها انعدام التشويه في الدوران الأول.

يبين الشكل (6) تغير البعد البؤري المسطوي  $F_p$  ومعامل التشويه الشعاعي  $D_r$  ومعامل التشويه الحلزوني  $D_s$  مع اعلومة التهيج  $NI/V_r^{1/2}$  للعدسة المسطوية الثلاثية  $L_2$  في منطقة الدوران الأول، اذ يلاحظ من الشكل ان القيمة الصغرى للبعد البؤري المسطوي  $(F_p)_{\min 1}$  في الدوران الأول تساوي 25.3 ملم وتقع عند اعلومة التهيج  $NI/V_r^{1/2}=4.5$  و يلاحظ أيضا ان كلا من  $D_r$  و  $D_s$  يقعان عند اعلومة تهيج واحدة التي تقع عندها القيمة الصغرى للبعد البؤري المسطوي  $(F_p)_{\min 1}$  في الدوران الأول، ان اعلومة التهيج هذه مساوية تقريبا لاعلومة التهيج التي حصل فيها (Tsun et al, 1980) على تشويه شعاعي وحلزوني صفري في الدوران الاول حيث  $NI/V_r^{1/2}=4.8$  باستخدام عدسة ثلاثية ثنائية الفجوة الهوائية  $S_2=2.25\text{mm}$  و  $S_1=2.8\text{mm}$  والنسبة  $D_1:D_2:D_3=9:3:3$ .

أما القيم الصغرى لاعلومتا التشويه الشعاعي  $(Q_r)_{\min 1}$  و الحلزوني  $(Q_s)_{\min 1}$  في هذه الدراسة فتساوي (2.56 و 0.40) على التوالي وتقعان عند اعلومة التهيج التي حصل عندها انعدام التشويه في الدوران الاول.

### 2.3. منطقة الدوران الثاني:

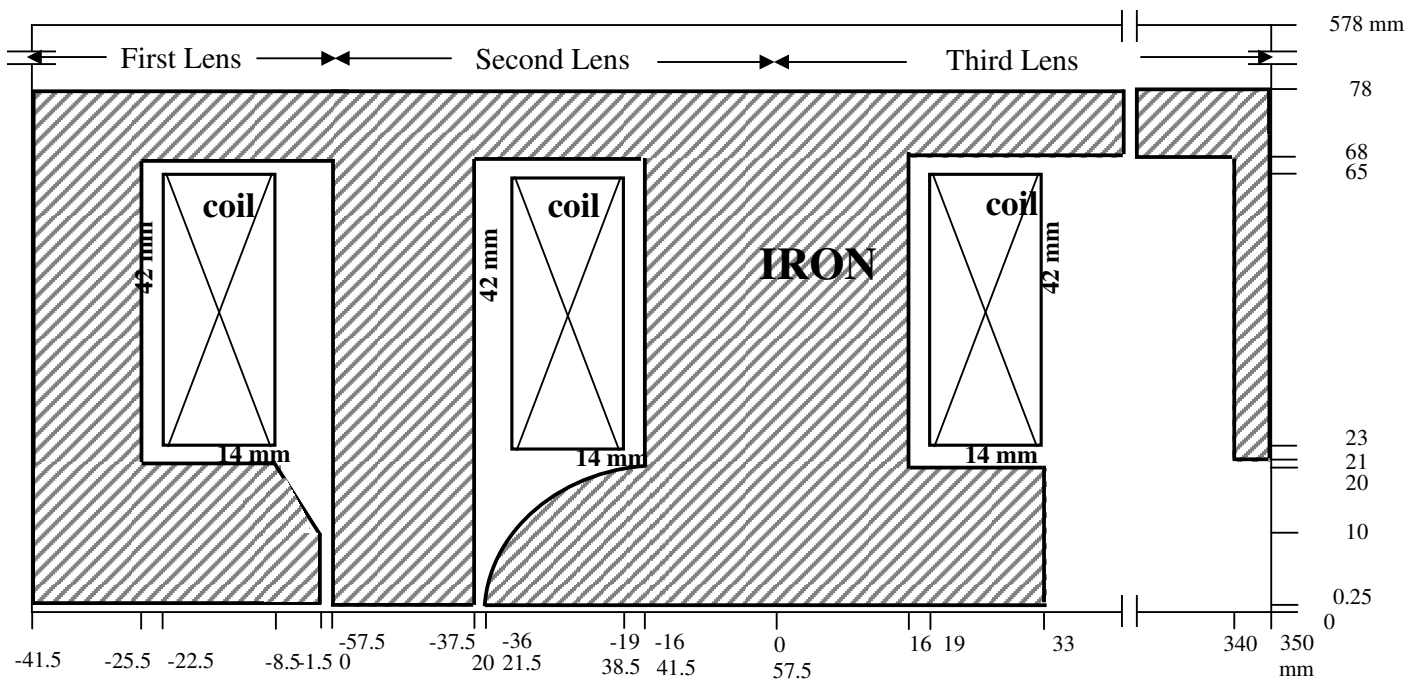
يبين الشكل (7) توزيع المجال المغناطيسي المحوري  $B_z$  للعدسة المسطوية الثلاثية  $L_1$  عند القيمة العظمى الثانية للتكبير، عند قيمة الفجوة الهوائية  $S=1.5\text{mm}$  والنسبة  $D_2:D_3:D_4=2.44:0.5:0.5$  التي تم الحصول عندها على تشويه صفري، نلاحظ في الشكل ان المجالين المغناطيسيين متعاكسين في الاتجاه للحصول على صورة عديمة الدوران وان المسافة ( $L$ ) الفاصلة بين قمتي المجالين المغناطيسيين تساوي 72.75 ملم.

إن القيمة العظمى لكثافة الفيض المغناطيسي  $B_{m2}$  للعدسة المسطوية الثانية تساوي 0.830 تسلا وتقع في منتصف الفجوة الهوائية الثانية  $S_2$  لتناظر المجال المغناطيسي. بينما تساوي القيمة العظمى لكثافة الفيض المغناطيسي  $B_{m3}$  للعدسة المسطوية الثالثة 0.096 تسلا وتقع على بعد 3mm عن وجه القطب. أما الشكل (8) فيوضح توزيع المجال المغناطيسي المحوري  $B_z$  للعدسة المسطوية الثلاثية  $L_2$  في الدوران الثاني عند قيمة الفجوة الهوائية  $S=0.5\text{mm}$  والنسبة  $D_2:D_3:D_4=9.96:0.5:0.5$  التي تم الحصول عندها على تشويه صفري، إذ يلاحظ من الشكل إن المجالين المغناطيسيين متعاكسان في الاتجاه للحصول على صورة عديمة الدوران. وان المسافة ( $L$ ) الفاصلة بين قمتي المجالين تساوي 49.25 ملم وان القيمة العظمى  $B_{m2}$  للعدسة المسطوية الثانية تساوي 0.651 تسلا وتقع في منتصف الفجوة الهوائية الثانية  $S_2$  لتناظر المجال المغناطيسي. اما قيمة  $B_{m3}$  للعدسة المسطوية الثالثة فتساوي 0.100 تسلا وتقع على بعد 2 ملم عن وجه القطب.

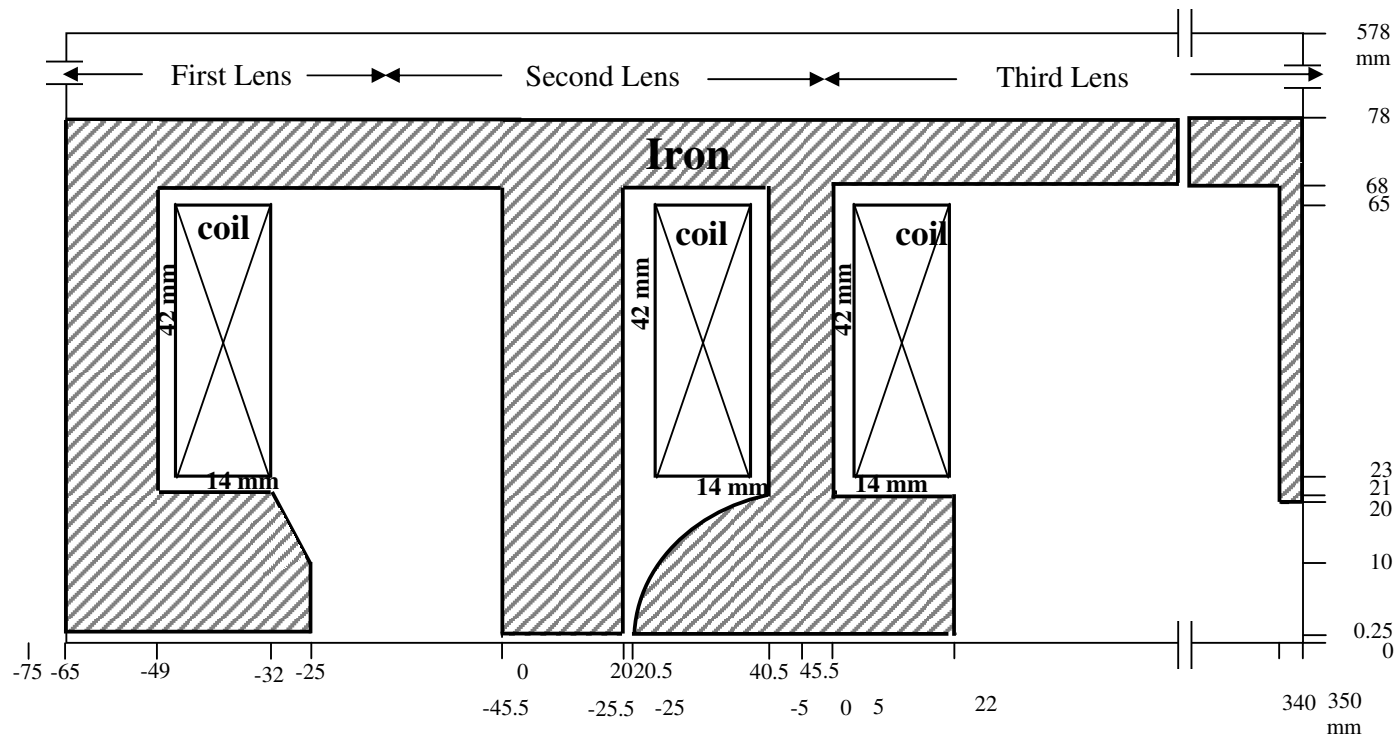
استخدم توزيع المجال المغناطيسي المبين في الشكل (7) في حساب الخواص البؤرية المسطوية للعدسة المسطوية الثلاثية  $L_1$  في الدوران الثاني، حيث يوضح الشكل (9) تغير البعد البؤري المسطوي  $F_p$ ، ومعامل التشويه أشعاعي  $D_r$  والحزوني  $D_s$  كدالة لاعلومة التهيج  $NI/V_r^{1/2}$ ، إذ يلاحظ إن القيمة الصغرى للبعد البؤري المسطوي  $(F_p)_{\min 2}$  في الدوران الثاني تساوي 1.519 ملم وتقع عند اعلومة التهيج  $NI/V_r^{1/2}=15$  وان كلا من  $D_s$  و  $D_r$  يصبحان صفرا عند اعلومة تهيج واحدة  $NI/V_r^{1/2}=17$ .

أما القيم الصغرى لاعلومة التشويه الشعاعي  $(Q_r)_{\min 2}$  والحزوني  $(Q_s)_{\min 2}$  في الدوران الثاني فتساوي (0.26 و 0.27) على التوالي، وتقعان عند اعلومة التهيج التي يصل فيها كلا من  $D_s$  و  $D_r$  لقيمههما الصغرى في الدوران الثاني. كذلك استخدم توزيع المجال المغناطيسي المحوري المبين في الشكل (8) في حساب الخواص البؤرية المسطوية للعدسة المسطوية الثلاثية  $L_2$  في الدوران الثاني، حيث يوضح الشكل (10) تغير البعد البؤري المسطوي  $F_p$ ، معامل التشويه أشعاعي  $D_r$  ومعامل التشويه الحزوني  $D_s$  كدالة لاعلومة التهيج  $NI/V_r^{1/2}$ ، إذ يلاحظ إن القيمة الصغرى للبعد البؤري المسطوي  $(F_p)_{\min 2}$  في الدوران الثاني تساوي 1.613 ملم وتقع عند اعلومة التهيج  $NI/V_r^{1/2}=15$ . وان كلا من  $D_s$  و  $D_r$  يصبحان صفرا عند اعلومة تهيج واحدة وهي  $NI/V_r^{1/2}=18$ .

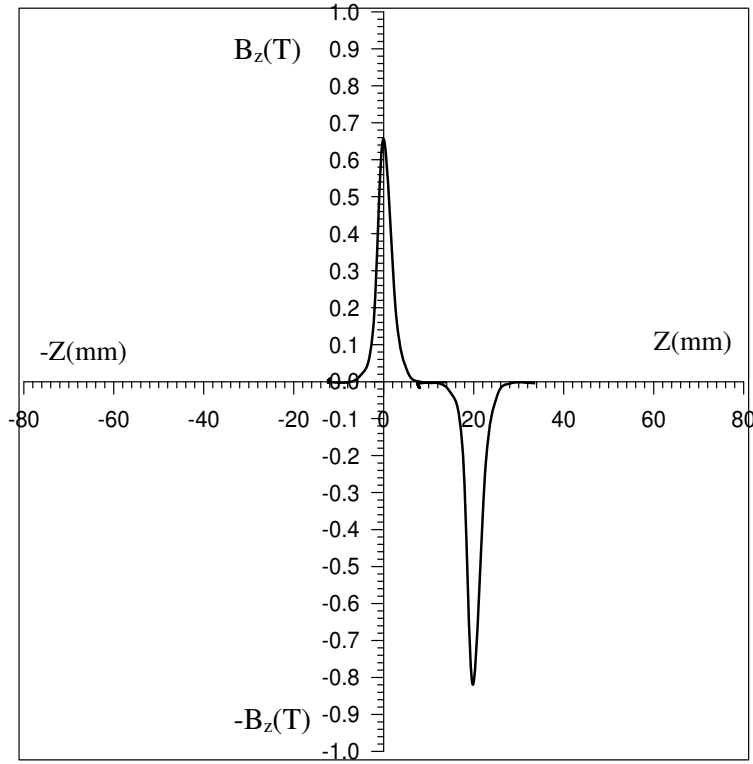
أما القيم الصغرى لاعلومتى التشويه أشعاعي  $(Q_r)_{\min 2}$  والحزوني  $(Q_s)_{\min 2}$  في الدوران الثاني فتساوي (0.05 و 0.49) على التوالي وتقعان عند اعلومة التهيج التي يصل فيها كلا من  $D_s$  و  $D_r$  لقيمهما الصغرى في الدوران الثاني.



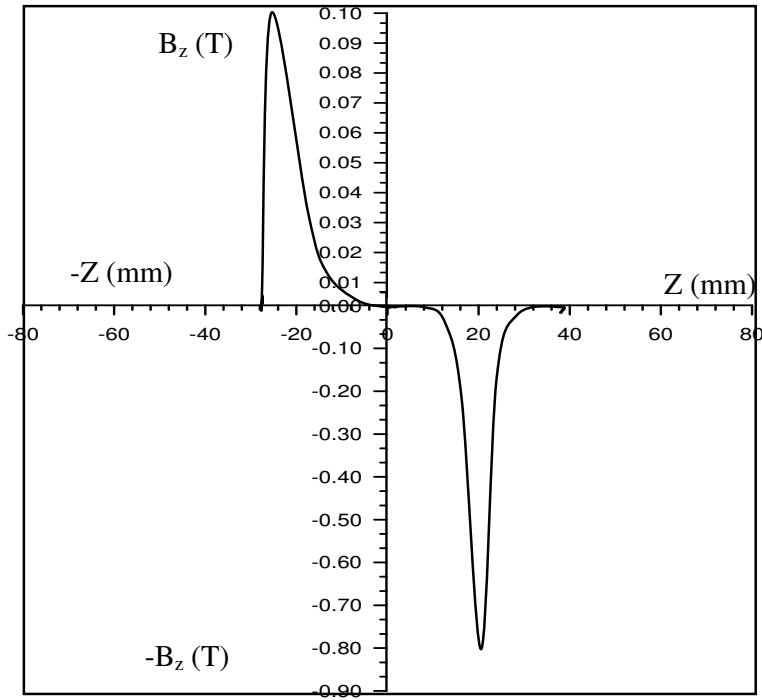
الشكل (1) النصف العلوي للعدسة المسطوية الثلاثية القطب  $L_1$



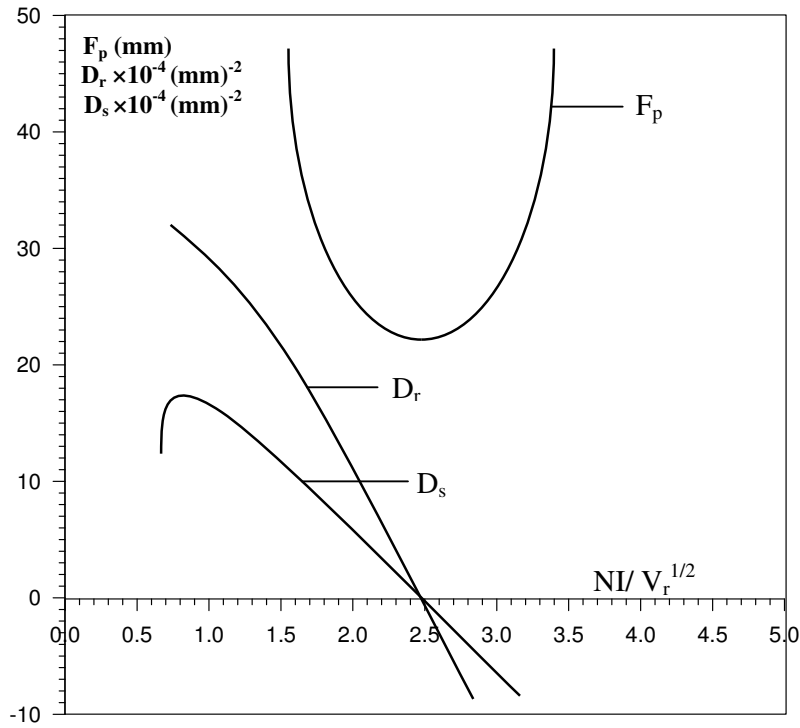
الشكل (2) النصف العلوي للعدسة المسطوية الثلاثية القطب  $L_2$



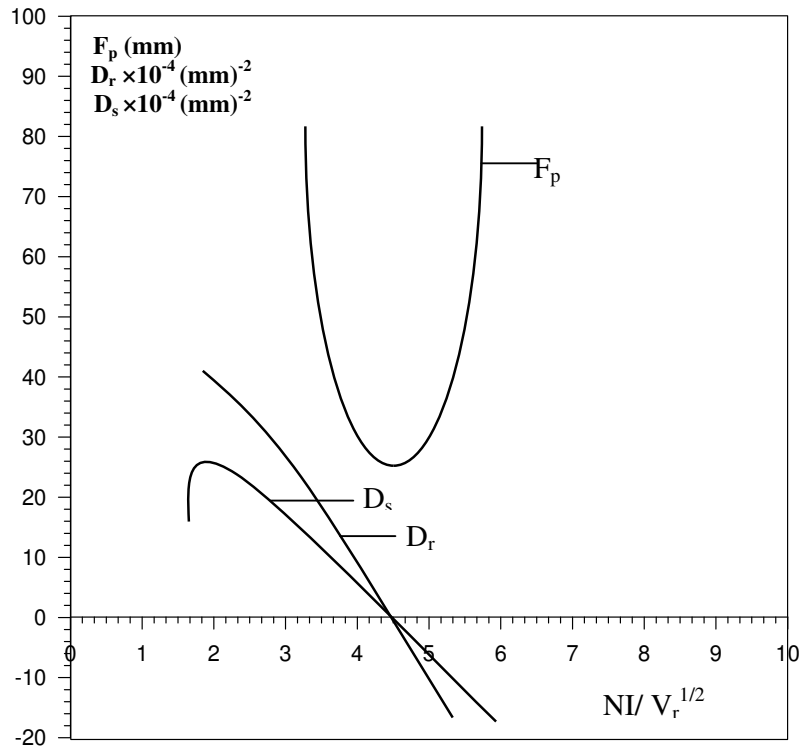
الشكل (3) توزيع المجال المغناطيسي المحوري  $B_z$  للعدسة المسطوية الثلاثية  $L_1$  في نقطة التكبير العظمى الأولى .



الشكل (4) توزيع المجال المغناطيسي المحوري  $B_z$  للعدسة المسطوية الثلاثية  $L_2$  في نقطة التكبير العظمى الأولى .

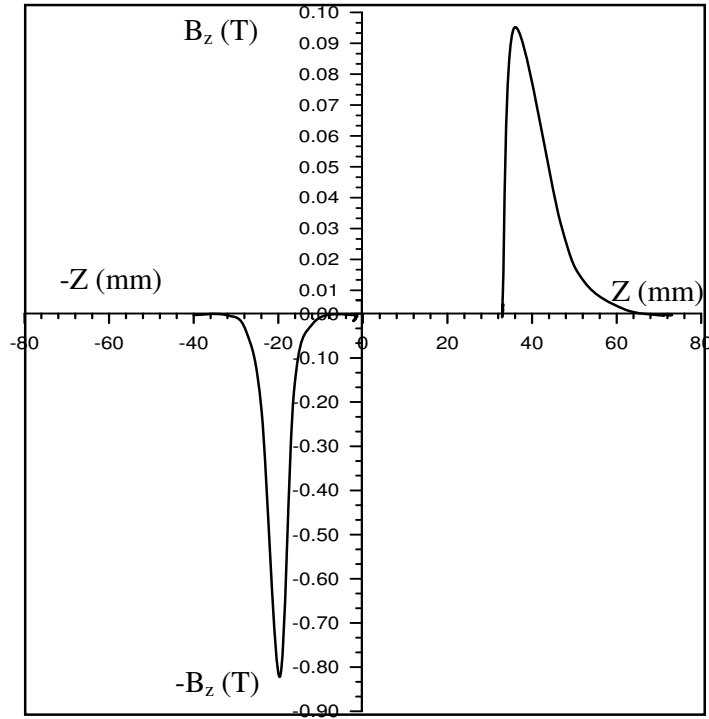


الشكل (5) تغير البعد البؤري المسطحي  $F_p$  ، معامل التشويه الشعاعي  $D_r$  و معامل التشويه الحلزوني  $D_s$  مع اعلومة التهيج  $NI/V_r^{1/2}$  للعدسة المسطوية الثلاثية  $L_1$  في نقطة التكبير العظمى الأولى .

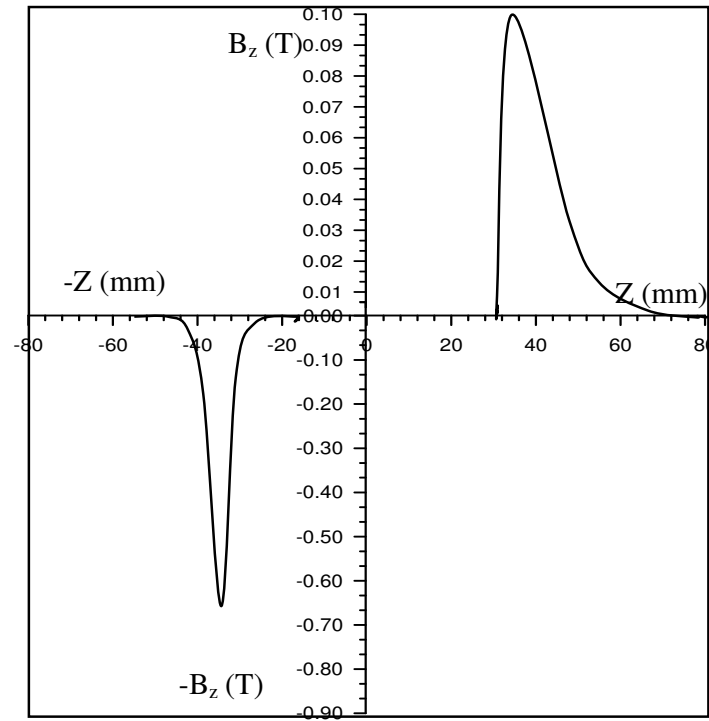


الشكل (6) تغير البعد البؤري المسطحي  $F_p$  ، معامل التشويه الشعاعي  $D_r$  و معامل التشويه الحلزوني  $D_s$  مع اعلومة التهيج  $NI/V_r^{1/2}$  للعدسة المسطوية الثلاثية  $L_2$  في نقطة التكبير العظمى الأولى .

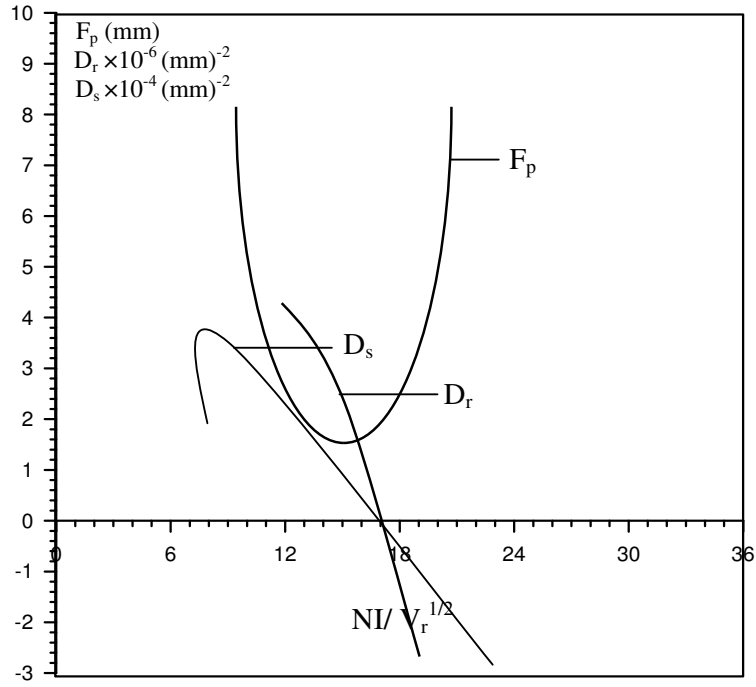




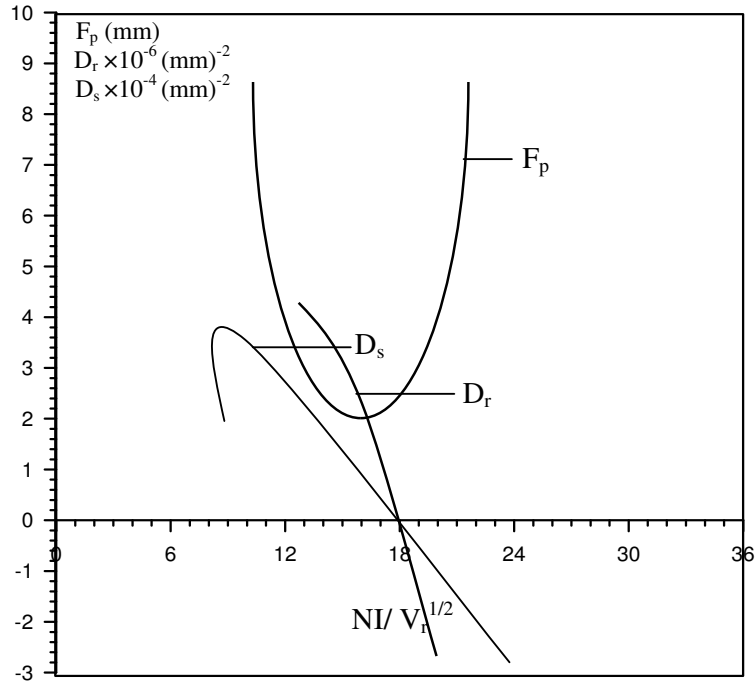
الشكل (7) توزيع المجال المغناطيسي المحوري  $B_z$  للعدسة المسطوية الثلاثية  $L_1$  في نقطة التكبير العظمى الثانية .



الشكل (8) توزيع المجال المغناطيسي المحوري  $B_z$  للعدسة المسطوية الثلاثية  $L_2$  في نقطة التكبير العظمى الثانية .



الشكل (9) تغير البعد البؤري المسقطي  $F_p$  ، معامل التشويه الشعاعي  $D_r$  و معامل التشويه الحلزوني  $D_s$  مع اعلومة التهيج  $NI/V_r^{1/2}$  للعدسة المسطوية الثلاثية  $L_1$  في نقطة التكبير العظمى الثانية .



الشكل (10) تغير البعد البؤري المسقطي  $F_p$  ، معامل التشويه الشعاعي  $D_r$  و معامل التشويه الحلزوني  $D_s$  مع اعلومة التهيج  $NI/V_r^{1/2}$  للعدسة المسطوية الثلاثية  $L_2$  في نقطة التكبير العظمى الثانية .

## الاستنتاجات :

- 1- أوضحت النتائج إمكانية تصميم وبناء عدسات مغناطيسية مسطوية ثلاثية متعددة الفجوات وذات أشكال أقطاب مختلفة والحصول على صور عديمة الدوران والتشويه في منطقتي التكبير العظمى الأولى والثانية.
- 2- للحصول على صورة عديمة الدوران والتشويه في نقطتي التكبير العظمى الأولى يتم تشغيل العدسة الثنائية القطب المخروطي الأولى مع العدسة الوسطية الثنائية القطب الكروي ويقطع التيار الكهربائي في العدسة المسطوية الأحادية القطب الاسطواني الثالثة. أما للحصول على صورة عديمة الدوران والتشويه في نقطة التكبير العظمى الثانية فيتم تشغيل العدسة الوسطية الثنائية القطب الكروي مع العدسة الأحادية القطب الاسطواني، في حين تكون العدسة الأولى الثنائية القطب المخروطي غير عاملة.
- 3- تعطي العدسة الثلاثية صوراً عديمة الدوران وخالية من التشويهين أشعاعي والحزوني في نقطة التكبير العظمى الأولى عند اعلومة التهيج التي تعطي أعظم قيمة للتكبير. بينما لوحظ عدم إمكانية الحصول على صورة عديمة الدوران وخالية من التشويه في نقطة التكبير العظمى الثانية عند القيمة العظمى للتكبير، لكن ينعقد التشويه في نقطة قريبة دون حدوث خسارة كبيرة في التكبير والتي لا يمكن أن تضاهي أهميتها أهمية التخلص من التشويه.

## References:

- Al-Abdedeen F.S. (1997). Rotation and Distortion- Free with Spherical Triple Lens. M.Sc. Thesis, Al- Mustansiriyah University, Iraq.
- Al-Obaidi H.N. (1991). Design of the Electron Magnetic Lenses .M.Sc .Thesis, Al- Mustansiriyah University , Iraq.
- Al-Saady A.K.(1996). Computation of the Properties of Magnetic Doublet Lenses for the Transmission Electron Microscope. Ph.D.Thesis, Al-Mustansiriyah University, Iraq.
- Al-Saady A.K., Al-Nakeshli I.S. and Juma S.M.(1999). Design of Rotation and Distortion- Free Doublet Projector Lenses. J. Babylon University.Vol.4, No.3.
- Al-Saady A.K., Al-Shummary B.A. and Al-Shafii T.M. (2005). A study of Properties Magnetic Projector Lenses with Multiple Different Polepieces. J. Kerbala University, Vol. 3, No. 12.
- Al-Shafii T.M. (2001) Magnetic Leakage through the Polepieces Bores of Magnetic Lenses. M.Sc. Thesis, Babylon University, Iraq.
- Al-Shummary B.A. (2002). A study of Distortion of the Projector Lenses in the Transmission Electron Microscope. M.Sc. Thesis, Babylon University, Iraq.
- Al-Saady A.K., and Al-Shummary B.A..(2004).A study of New Design for Magnetic Projector Lens without Distortion. J. Kerbala University, Iraq. Vol. 2 , No. 7 .

- Hawkes P.W. (1972). *Electron Optics and Electron Microscopy*. (Taylor and Francis, London).
- Juma S.M. (1975). *Rotation- Free Magnetic Electron Lenses*. Ph.D. Thesis, University of Aston, Birmingham, England, UK.
- Juma S.M and Mulvey T.(1974). *Electron Microscopy*. Vol.1, ed. J. V. Sanders and D.J. Goodchild. (Australia Academy of sciences, Canberra).134- 135.
- Juma S.M. and Mulvey T. (1976). *Developments in Electron Microcopy and Analysis*, ed. J.A. Venables (London: Academic).45- 48.
- Juma S.M. and Mulvey T. (1978). *Miniature Rotation- Free Magnetic Electron Lenses for the Electron Microscope*. *J. Phys. E: Sci. Instrument* 11, 759- 764.
- Marai F.Z.(1977) *Electron Optical Properties of Single-Pole Magnetic Electron Lenses* Ph.D. Thesis, University of Aston ,Birmingham, England UK.
- Munro E. (1971). *Computer- Aided Design Methods in Electron Optics*. Ph.D. Thesis, University of Cambridge, England, UK.
- Tsuno, K., Arai, Y., and Harada, Y., (1980). *Elimination of Spiral Distortion in Electron by Means of Three-Ppolepiece Lens*. *J. Elec. Micro.* 1, 76-77.
- Tsuno, K., and Harada Y., (1981). *Minimization of Radial and Spiral Distortion in Electron Microscopy through the Use of Triple Polepiece lens*. *J. phys.*14, 313-319